精确测量 X(3872) 束缚能的可能性 $e^+e^- \to \pi^0 \gamma X(3872)$ 和 $p\bar{p} \to \gamma X(3872)$

报告人: 景豪杰

轻强子谱国际协同研究研讨会,中国·北京,2021年7月9日。

2021年7月9日

Based on Shuntaro Sakai, Hao-Jie Jing and Feng-Kun Guo, Phys.Rev.D 102 (2020) 11, 114041 [arXiv:2008.10829].

轻强子谱国际协同研究研讨会



中国科学院理论物理研究所

◆ロ → ◆園 → ◆ 重 → ◆ 重 | 車 り Q ()

- 1 奇特强子态 X(3872)
- 2 精确测量 X(3872) 质量的新方法
- 3 可行性研究
- 4 总结



轻强子谱国际协同研究研讨会

- 2 精确测量 X(3872) 质量的新方法
- 4 总结

奇特强子态 X(3872)



奇特态 X(3872) 的质量, 宽度和自旋宇称

 粒子	质量 (MeV)	寿命或宽度	自旋宇称
D^0	1864.83 ± 0.05	$410.1 \pm 1.5 \text{ fs}$	0-
D^{*0}	2006.85 ± 0.05	$55.3 \pm 1.4 \text{ keV}$	1-
X(3872)	3871.69 ± 0.17	$1.19 \pm 0.21 \; \mathrm{MeV}$	>- 1 ⁺ ± 1

表 1: 介子 D^0 , D^{*0} 和 X(3872) 的质量,寿命或宽度和自旋字称。 D^{*0} 的宽度取自 [Guo, 2019],其余取自粒子数据组 (Review of Particle Physics, RPP) [Zyla et al., 2020]。

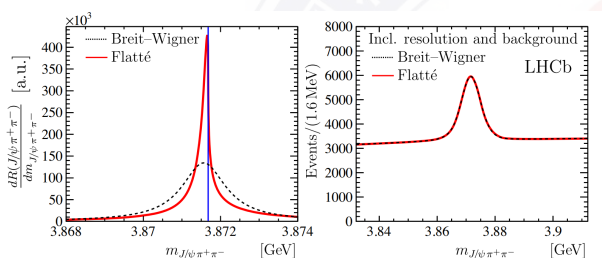


图 1: Flatté 和 Breit-Wigner 参数化的比较。图片取自 LHCb [Aaij et al., 2020]。

4 D > 4 D > 4 E > 4 E > E E 990

奇特态 X(3872) 的衰变模式

$D^0 \bar{D}^0 \pi^0$	$\bar{D}^{*0}D^{0}$	$\gamma \psi(2S)$	$\omega J/\psi(1S)$	$\pi^+\pi^-J/\psi(1S)$	$\pi^0 \chi_{c1}$	$\gamma J/\psi$
> 29%	> 28%	> 2.5%	> 2.2%	> 2.6%	> 1.8%	$> 4 \times 10^{-3}$

表 2: X(3872) 的主要衰变模式及分支比, 取自RPP [Zyla et al., 2020]。

X(3872) 很可能是一个由 $D^0\bar{D}^{*0}$ 构成的 S 波浅束缚态

- 可以自然地解释 $X(3872) \to \pi^0 D^0 \bar{D}^0 / D^0 \bar{D}^{*0}$ 较大的分支比 [Li and Yuan, 2019, Braaten et al., 2019];
- 可以自然地解释同位旋破坏过程 $X(3872) \to \pi^+\pi^- J/\psi$ 相对于同位旋守恒过程 $X(3872) \to \pi^+\pi^-\pi^0 J/\psi$ 较大的分支比 [Gamermann and Oset, 2009]。

◆ロト ◆問 ト ◆ 恵 ト ◆ 恵 ト ・ 恵 1 年 ・ り へ で

- 2 精确测量 X(3872) 质量的新方法
- 4 总结



三角奇点 (Triangle Singularity)

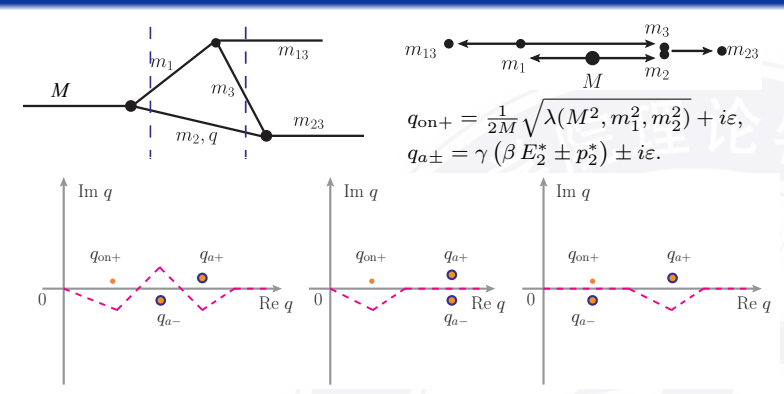


图 2: 在三动量模 q 的积分路径上遇到奇点的三种情形。左侧: 无运动 学奇点;中间:两体阈值奇点;右侧:三角奇点 $(q_{on+}=q_{a-})$ 。

三角奇点对运动学变量十分敏感 [Bayar et al., 2016, Guo et al., 2020]

$$m_{23} \in \left\lceil m_2 + m_3, \sqrt{\left[\left(m_1 + m_2 \right) \left(m_3^2 + m_1 m_2 \right) - m_2 m_{13}^2 \right] / m_1} \right\rceil.$$

精确测量 X(3872) 的束缚能

- X(3872) 束缚能的定义:
 - $\delta = m_{D^0} + m_{\bar{D}^{*0}} m_X = 0.00 \pm 0.18 \text{ MeV};$
- 通过测量 X(3872) 衰变产物(如 $\pi^+\pi^-J/\psi$)的不变质量分布线 形来确定 X(3872) 的质量,进而确定其束缚能;
- 利用三角奇点对运动学变量的敏感性,可以通过测量末态 $\gamma X(3872)$ 的线形来直接确定 X(3872) 的束缚能 [Guo, 2019];

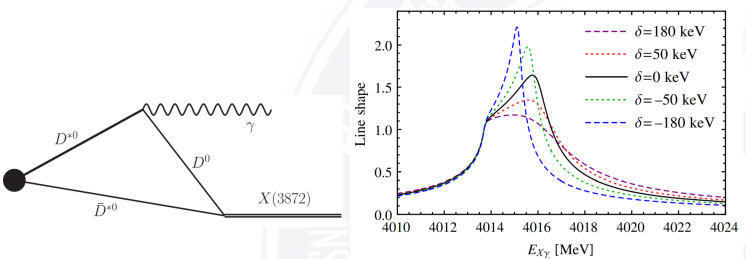
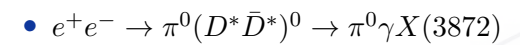


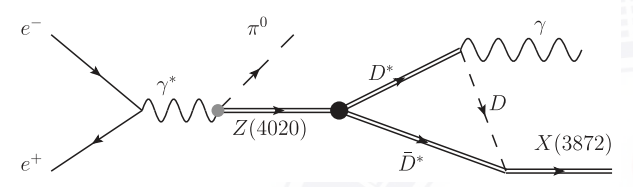
图 3: 左: 短距 $D^{*0}\bar{D}^{*0}$ 产生 $\gamma X(3872)$ 的三角圈图; 右: 在 $D^{*0}\bar{D}^{*0}$ 阈值附近末态 $\gamma X(3872)$ 的线形。图片取自 [Guo, 2019]。

- 奇特强子态 X(3872)
- 2 精确测量 X(3872) 质量的新方法
- 3 可行性研究 数值计算结果
- 4 总结

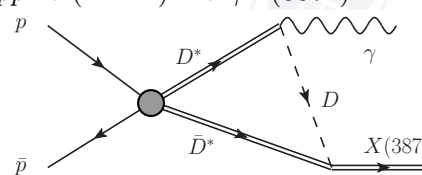


可行性研究





• $p\bar{p} \to (D^*\bar{D}^*)^0 \to \gamma X(3872)$



- 2 精确测量 X(3872) 质量的新方法
- 3 可行性研究 形式计算 数值计算结果
- 4 总结



可行性研究

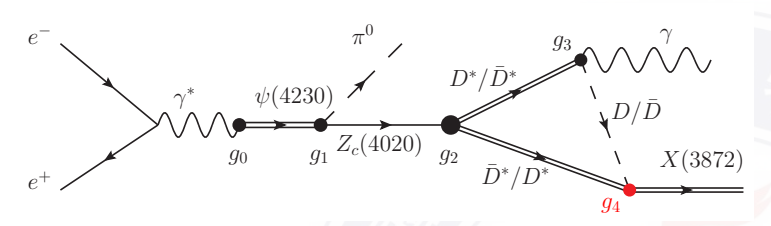


图 4: 本工作中考虑的 $e^+e^- \rightarrow \pi^0 \gamma X(3872)$ 三角圈图。

- $g_0g_1g_2 = 0.68 \,\mathrm{GeV}^3$ $\sigma_{e^+e^-\to\pi^0(D^*\bar{D}^*)^0}=61.6\ \ {\rm pb}\ @\sqrt{s}=4.23\ {\rm GeV}.$ $\sigma_{e^+e^-\to\pi^0(D^*\bar{D}^*)^0}=43.4 \ \ {\rm pb} \ @\sqrt{s}=4.26 \ {\rm GeV} \ [{\rm Ablikim} \ {\rm et \ al.}, \ 2015].$
- $q_3 = 1.77 \,\mathrm{GeV}^{-1}$ $\Gamma_{D^{*0}\to\gamma D^0} = 55.3 \text{ keV} \times 35.3\% = 19.5 \text{ keV}$ [Braaten, 2015, Guo, 2019, Zyla et al., 2020].

耦合常数 g_4

• X(3872) 质量低于 $D^0\bar{D}^{*0}$ 阈值 $(\delta>0)$

$$g_4^2 = \frac{4\pi m_X^2}{\mu_{D^0\bar{D}^{*0}}} \sqrt{2\mu_{D^0\bar{D}^{*0}}\delta}.$$

[Baru et al., 2004, Gamermann et al., 2010, Lin et al., 2017, Sakai et al., 2020b]

• X(3872) 质量高于 $D^0\bar{D}^{*0}$ 阈值 $(\delta < 0)$

$$\begin{split} g_4^2 &= \frac{1}{2} \Gamma_X \mathcal{B}[X(3872) \to D^{*0} \bar{D}^0 + \text{c.c.}] \\ &\frac{8\pi m_X^2/p_{D^0}}{\frac{2}{3} \left(1 + \frac{E_{\bar{D}^{*0}}^2}{2m_{\bar{D}^{*0}}^2}\right)}. \end{split}$$

 $\mathcal{B}[X(3872) \to D^{*0}\bar{D}^0 + \text{c.c.}] = 52\%.$ [Lees et al., 2020]

$$\begin{split} &\Gamma_X=100~\text{keV}.\\ &[\text{Fleming et al., 2007, Guo et al., 2014,}\\ &\text{Dai et al., 2020, Zyla et al., 2020,}\\ &\text{Li and Yuan, 2019, Braaten et al., 2019} \end{split}$$

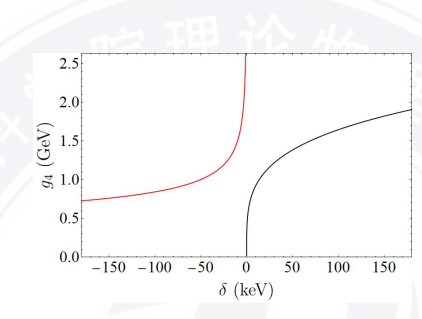


图 5: 耦合常数 g_4 随 δ 的变化曲线。

$p\bar{p} \rightarrow \gamma X(3872)$

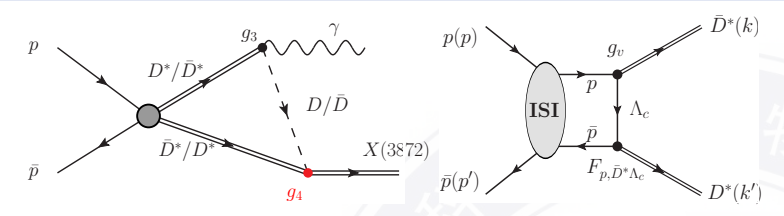


图 6: 左: 本工作中考虑的 $p\bar{p} \rightarrow \gamma X(3872)$ 三角圈图; 右: $p\bar{p}$ 通过交 $换 \Lambda_c 产生 \bar{D}^*D^*$ 。

- pp 初态相互作用 (Initial-State Interaction, ISI)。 $|\mathcal{M}_{ISI}|^2 = 0.25@\sqrt{s} = 5 \text{ GeV}$ [Dong et al., 2014]. 为了估算散射截面, 我们取 $|\mathcal{M}_{ISI}|^2 = 0.2 \sqrt{s} \sim 4.02 \text{ GeV}$ 。
- 耦合常数 $g_v = -5.20$ 。 通过味道 SU(4) 对称性估算, $g_{\Lambda_c pD^*} = -\frac{\sqrt{3}}{2} g_{NNo}$ [Liu et al., 2001, Dong et al., 2014].
- 形状因子 $F_{p,\bar{D}^*\Lambda_c}^2=rac{\Lambda^4}{((p-k)^2-m_{\Lambda_-}^2)^2+\Lambda^4},\Lambda\sim 2~{
 m GeV}$ [He, 2015, Lin et al., 2017].

X(3872) 的宽度效应

• X(3872) 的谱函数对散射截面的抹平效应

$$\bar{F}(m_{\gamma X}) = \int_{m_X - 2\Gamma_X}^{m_X + 2\Gamma_X} d\tilde{m}_X \rho_X(\tilde{m}_X) \frac{\Gamma_{X,\rho}(\tilde{m}_X)}{\mathrm{Re}[\Gamma_X(\tilde{m}_X)]} F(m_{\gamma X}, \tilde{m}_X).$$

• Flatté 参数化形式 [Hanhart et al., 2007, Aaij et al., 2020]

$$\Gamma_X(\tilde{m}_X) = g(k_1 + k_2) + \Gamma_{X,\rho}(\tilde{m}_X) + \Gamma_{X,\omega}(\tilde{m}_X) + \Gamma_{X0},$$

其中 ρ_X , $k_{1,2}$, $\Gamma_{X,\rho/\omega}$ 的具体形式见 [Sakai et al., 2020a] 中的公式 (14)。

表 3: Flatté 振幅中的参数取值。

δ (keV)	m_{X0} (GeV)	g(-)	f_{ρ} ($-$)	f_{ω} ($-$)	Γ_{X0} (MeV)
0	3.8645	$0.108^{+0.006}_{-0.007}$	$(1.8^{+0.92}_{-0.85}) \times 10^{-3}$	1.0×10^{-2}	1.4 ± 0.72
180	3.8644	0.097	1.6×10^{-3}	9.0×10^{-3}	0.0
50	3.8643	0.108	1.8×10^{-3}	1.0×10^{-2}	0.3
-50	3.8714	5.186×10^{-3}	8.6×10^{-5}	4.8×10^{-4}	0.03
-180	3.8717	2.802×10^{-3}	4.7×10^{-5}	2.6×10^{-4}	0.035

- ① 奇特强子态 X(3872)
- 2 精确测量 X(3872) 质量的新方法
- 3 可行性研究 数值计算结果
- 4 总结



$e^+e^- \to \pi^0 \gamma X(3872)$ @ $\sqrt{s} = 4.23 \, {\rm GeV}$ 的数值结果

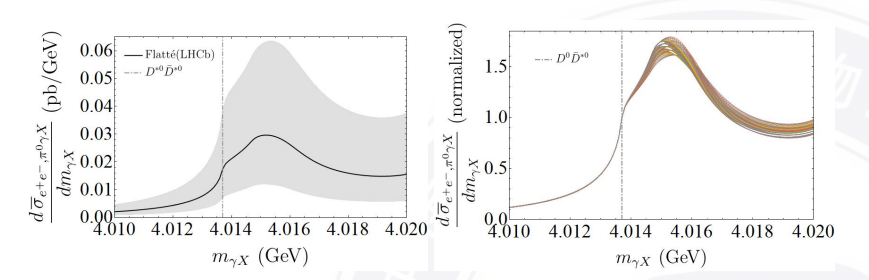


图 7: 左: X(3872) 的束缚能 $\delta = 0$ keV 时 $e^+e^- \to \pi^0 \gamma X(3872)$ 的微 分散射截面,灰色带状区域由文献 [Aaij et al., 2020]中最佳拟合参数的 误差给出; 右: 在文献 [Aaij et al., 2020]中给出的最佳拟合参数的误差 范围内不变质量分布的线形变化。

$e^+e^- \to \pi^0 \gamma X(3872)$ @ $\sqrt{s} = 4.23 \, \mathrm{GeV}$ 的数值结果

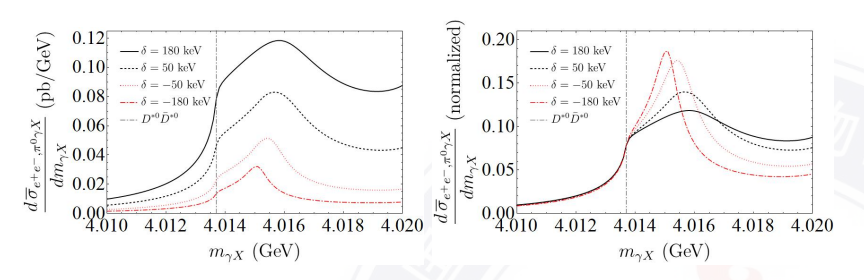


图 8: X(3872) 的束缚能 $\delta = -180, -50, 50, 180 \text{ keV}$ 时 $e^+e^- \to \pi^0 \gamma X(3872)$ 的微分散射截面(左)及其线形变化(右)。

散射截面的量级: $\sigma_{e^+e^-\to\pi^0\gamma X(3872)}\cdot \mathcal{B}(X(3872)\to J/\psi\pi^+\pi^-)\sim \mathcal{O}(0.1~{\rm fb})$ 。

这个量级的散射截面和 BESIII 在 $e^+e^-\to \pi^0Z_c(4020)^0\to \pi^0X(3872)\gamma$ 过程中测量的上限一致 [Ablikim et al., 2021]。

 $\sigma \cdot \mathcal{B} < 0.15 \text{ pb } @ \sqrt{s} = 4.226 \text{ GeV}.$

◆□▶◆□▶◆壹▶◆壹▶ 臺□ かへ@

$p\bar{p} \rightarrow \gamma X(3872)$ 的数值结果

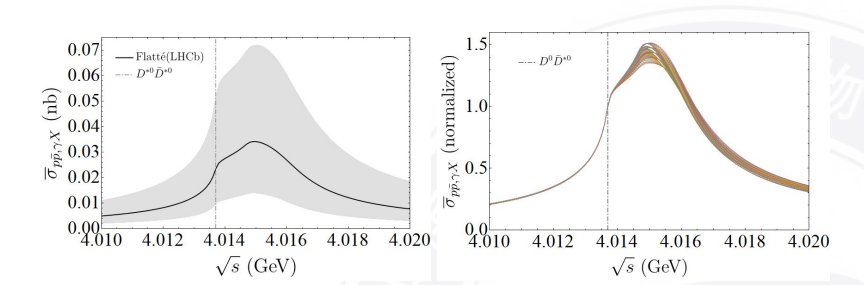


图 9: $\Delta : X(3872)$ 的束缚能 $\delta = 0$ keV 时 $p\bar{p} \to \gamma X(3872)$ 的散射截面 随质心系能量变化的线形,灰色带状区域由文献 [Aaij et al., 2020]中最佳拟合参数的误差给出;右:在文献 [Aaij et al., 2020]中给出的最佳拟合参数的误差范围内质心系能量分布的线形变化。

◆□▶ ◆□▶ ◆臺▶ ◆臺▶ 臺灣 から○

$p\bar{p} \rightarrow \gamma X(3872)$ 的数值结果

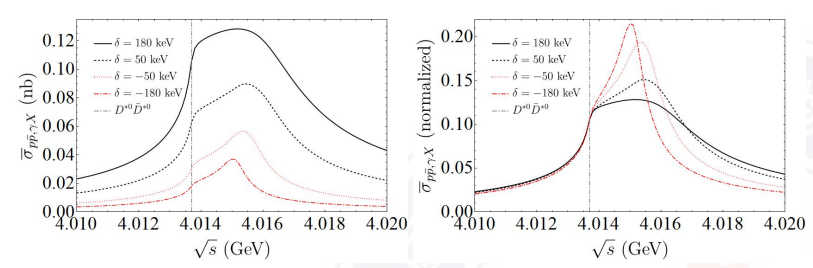


图 10: X(3872) 的束缚能 $\delta = -180, -50, 50, 180$ keV 时 $p\bar{p} \rightarrow \gamma X(3872)$ 的散射截面随质心系能量的变化(左)及其线形变化(右)。

散射截面的量级: $\sigma_{p\bar{p}\to\gamma X(3872)}\cdot \mathcal{B}(X(3872)\to J/\psi\pi^+\pi^-)\sim \mathcal{O}(10~\mathrm{pb})$ 。

- PANDA 在五个月内的积分亮度约为 $2 \, \text{fb}^{-1} @ \sqrt{s} = 3872 \, \text{MeV}$ [Barucca et al., 2019] 可以预期收集到的 X(3872) 事例数 $N \sim \mathcal{O}(2 \times 10^4)$;
- $\mathcal{B}(J/\psi \to e^+e^-/\mu^+\mu^-) \sim 6\%$ [Zyla et al., 2020] 可以预期 PANDA 实验可以重构的事例数 $N \sim \mathcal{O}(2 \times 10^3)$ 。

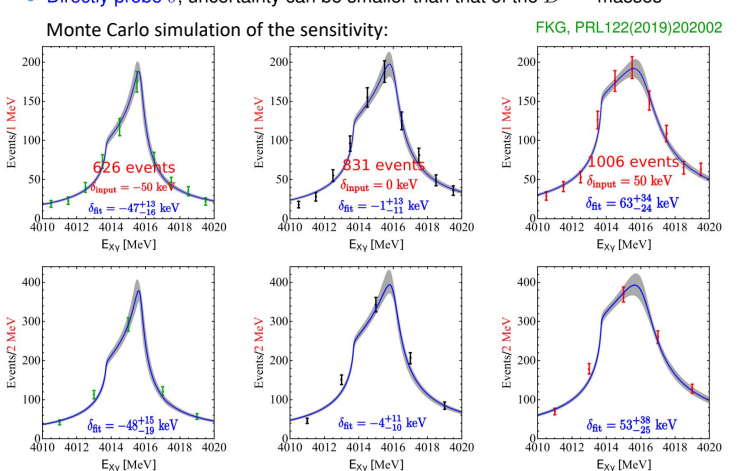
◆□▶ ◆圖▶ ◆臺▶ ◆臺▶ 臺灣 めぬぐ

误差估计的蒙特卡洛模拟

TS as a tool: precise measurement of X(3872)



ullet Directly probe δ , uncertainty can be smaller than that of the $D^{(*0)}$ masses



200

考虑能量区间平均后的线形变化

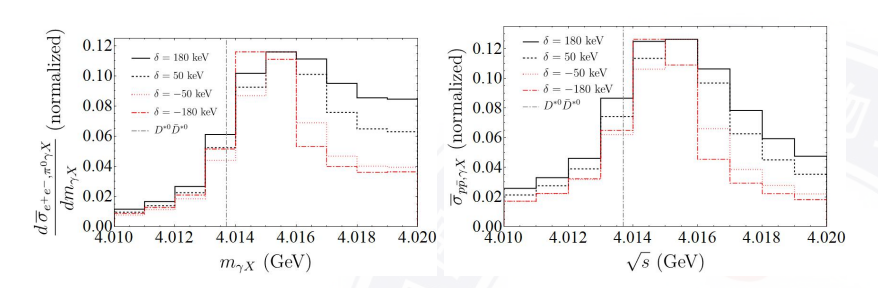


图 11: 在每 MeV 的能量区间中取平均后微分截面 $d\bar{\sigma}_{e^+e^-}$ $\pi^0\gamma X/dm\gamma X$ (左) 和截面 $\overline{\sigma}_{n\bar{n},\gamma X}$ (右) 的分布直方图, 高度由该区域线形的平均值 给出。所有情形的直方图在其最大值所处的能量区块中都进行了归一 化处理。

在高亮度和高分辨率模式下, FAIR 上高能储存环 (High Energy Storage Ring) 的束流能量分辨率分别为 167.8 keV 和 33.6 keV [Lehrach et al., 2006, Barucca et al., 2019].

- 2 精确测量 X(3872) 质量的新方法
- 4 总结



jinghaojie@itp.ac.cn

总结

- 因三角奇点的存在,X(3872) 束缚能的改变 ($\pm 180 \text{ keV}$) 会明显影响末态 $\gamma X(3872)$ 不变质量分布的线形,这一性质可以用来精确测定 X(3872) 的束缚能;
- 对于 $e^+e^- \to \pi^0 \gamma X(3872)$ 和 $p\bar{p} \to \gamma X(3872)$ 两个过程,在考虑 X(3872) 的宽度效应,以及初态相互作用和能量区间平均后这种效应依然足够明显;
- 对于 $p\bar{p} \to \gamma X(3872)$, 散射截面足够大。 $\sigma_{p\bar{p}\to\gamma X(3872)} \sim \mathcal{O}(10 \text{ pb}) @ \sqrt{s} = 4.02 \text{ GeV}$ $\Rightarrow N \sim \mathcal{O}(2\times 10^3) @ \text{ PANDA (五个月内)}$

我们建议在 PANDA 上精确测量 X(3872) 的束缚能。

Thank you for your attention!

- [Aaij et al., 2020] Aaij, R. et al. (2020). Study of the lineshape of the $\chi_{c1}(3872)$ state. Phys. Rev. D, 102:092005.
- [Ablikim et al., 2015] Ablikim, M. et al. (2015). Observation of a neutral charmoniumlike state $Z_c(4025)^0$ in $e^+e^- \rightarrow (D^*\bar{D}^*)^0\pi^0$. Phys. Rev. Lett., 115(18):182002.
- [Ablikim et al., 2021] Ablikim, M. et al. (2021). Study of $e^+e^- \to \pi^0 X(3872)\gamma$ and search for $Z_c(4020)^0 \to X(3872)\gamma$.

[Baru et al., 2004] Baru, V., Haidenbauer, J., Hanhart, C., Kalashnikova, Yu., and Kudryavtsev, A. E. (2004). Evidence that the $a_0(980)$ and $f_0(980)$ are not elementary particles.

Phys. Lett., B586:53-61.

[Barucca et al., 2019] Barucca, G. et al. (2019).

Precision resonance energy scans with the PANDA experiment at FAIR: Sensitivity study for width and line-shape measurements of the X(3872).

Eur. Phys. J. A, 55(3):42.

[Bayar et al., 2016] Bayar, M., Aceti, F., Guo, F.-K., and Oset, E. (2016).

A Discussion on Triangle Singularities in the $\Lambda_b \to J/\psi K^- p$ Reaction.

Phys. Rev., D94(7):074039.





- [Braaten, 2015] Braaten, E. (2015). Galilean-invariant effective field theory for the X(3872). *Phys. Rev.*, D91(11):114007.
- [Braaten et al., 2019] Braaten, E., He, L.-P., and Ingles, K. (2019). Branching Fractions of the X(3872).
- [Dai et al., 2020] Dai, L., Guo, F.-K., and Mehen, T. (2020). Revisiting $X(3872) \rightarrow D^0 \bar{D}^0 \pi^0$ in an effective field theory for the X(3872).

Phys. Rev. D, 101(5):054024.





[Dong et al., 2014] Dong, Y., Faessler, A., Gutsche, T., and Lyubovitskij, V. E. (2014).

Role of the hadron molecule $\Lambda_c(2940)$ in the $p\bar{p}\to pD^0\bar{\Lambda}_c(2286)$ annihilation reaction.

Phys. Rev. D, 90(9):094001.

[Fleming et al., 2007] Fleming, S., Kusunoki, M., Mehen, T., and van Kolck, U. (2007).

Pion interactions in the X(3872).

Phys. Rev., D76:034006.

[Gamermann et al., 2010] Gamermann, D., Nieves, J., Oset, E., and Ruiz Arriola, E. (2010).

Couplings in coupled channels versus wave functions: application to the X(3872) resonance.

Phys. Rev., D81:014029.



- [Gamermann and Oset, 2009] Gamermann, D. and Oset, E. (2009).
 - Isospin breaking effects in the X(3872) resonance. *Phys. Rev.*, D80:014003.
- [Guo, 2019] Guo, F.-K. (2019). Novel Method for Precisely Measuring the X(3872) Mass. *Phys. Rev. Lett.*, 122(20):202002.
- [Guo et al., 2014] Guo, F.-K., Hidalgo-Duque, C., Nieves, J., Ozpineci, A., and Valderrama, M. P. (2014). Detecting the long-distance structure of the *X*(3872). *Eur. Phys. J.*, C74(5):2885.
- [Guo et al., 2020] Guo, F.-K., Liu, X.-H., and Sakai, S. (2020). Threshold cusps and triangle singularities in hadronic reactions. *Prog. Part. Nucl. Phys.*, 112:103757.

[Hanhart et al., 2007] Hanhart, C., Kalashnikova, Yu. S., Kudryavtsev, A. E., and Nefediev, A. V. (2007).

Reconciling the X(3872) with the near-threshold enhancement in the $D^0\bar{D}^{*0}$ final state.

Phys. Rev., D76:034007.

[He, 2015] He, J. (2015).

Internal structures of the nucleon resonances N(1875) and N(2120).

Phys. Rev. C, 91(1):018201.

[Lees et al., 2020] Lees, J. et al. (2020).

Measurements of the Absolute Branching Fractions of $B^{\pm} \to K^{\pm} X_{c\bar{c}}$.

Phys. Rev. Lett., 124(15):152001.



[Lehrach et al., 2006] Lehrach, A., Boine-Frankenheim, O., Hinterberger, F., Maier, R., and Prasuhn, D. (2006).

Beam performance and luminosity limitations in the high-energy storage ring (HESR).

Nucl. Instrum. Meth. A, 561:289-296.

[Li and Yuan, 2019] Li, C. and Yuan, C.-Z. (2019).

Determination of the absolute branching fractions of X(3872) decays.

Phys. Rev., D100(9):094003.

[Lin et al., 2017] Lin, Y.-H., Shen, C.-W., Guo, F.-K., and Zou, B.-S. (2017).

Decay behaviors of the P_c hadronic molecules.

Phys. Rev., D95(11):114017.



- [Liu et al., 2001] Liu, W., Ko, C. M., and Lin, Z. W. (2001). Cross-section for charmonium absorption by nucleons. *Phys. Rev. C*, 65:015203.
- [Sakai et al., 2020a] Sakai, S., Jing, H.-J., and Guo, F.-K. (2020a).

Possible precise measurements of the X(3872) mass with the $e^+e^-\to \pi^0\gamma X(3872)$ and $p\bar{p}\to \gamma X(3872)$ reactions. Phys. Rev. D, 102(11):114041.

[Sakai et al., 2020b] Sakai, S., Oset, E., and Guo, F.-K. (2020b). Triangle singularity in the $B^- \to K^- \pi^0 X(3872)$ reaction and sensitivity to the X(3872) mass. *Phys. Rev. D*, 101(5):054030.



[Zyla et al., 2020] Zyla, P. et al. (2020). Review of Particle Physics. *PTEP*, 2020(8):083C01.

